Innovating for life science since 2004

北京普利莱基因技术有限公司
BEI JING APPLYGEN TECHNOLOGIES CO., LTD.
地址：北京市昌平区振兴路36号院2号楼330
电话：010-62053186　网址：www.applygen.com

APPLYGEN

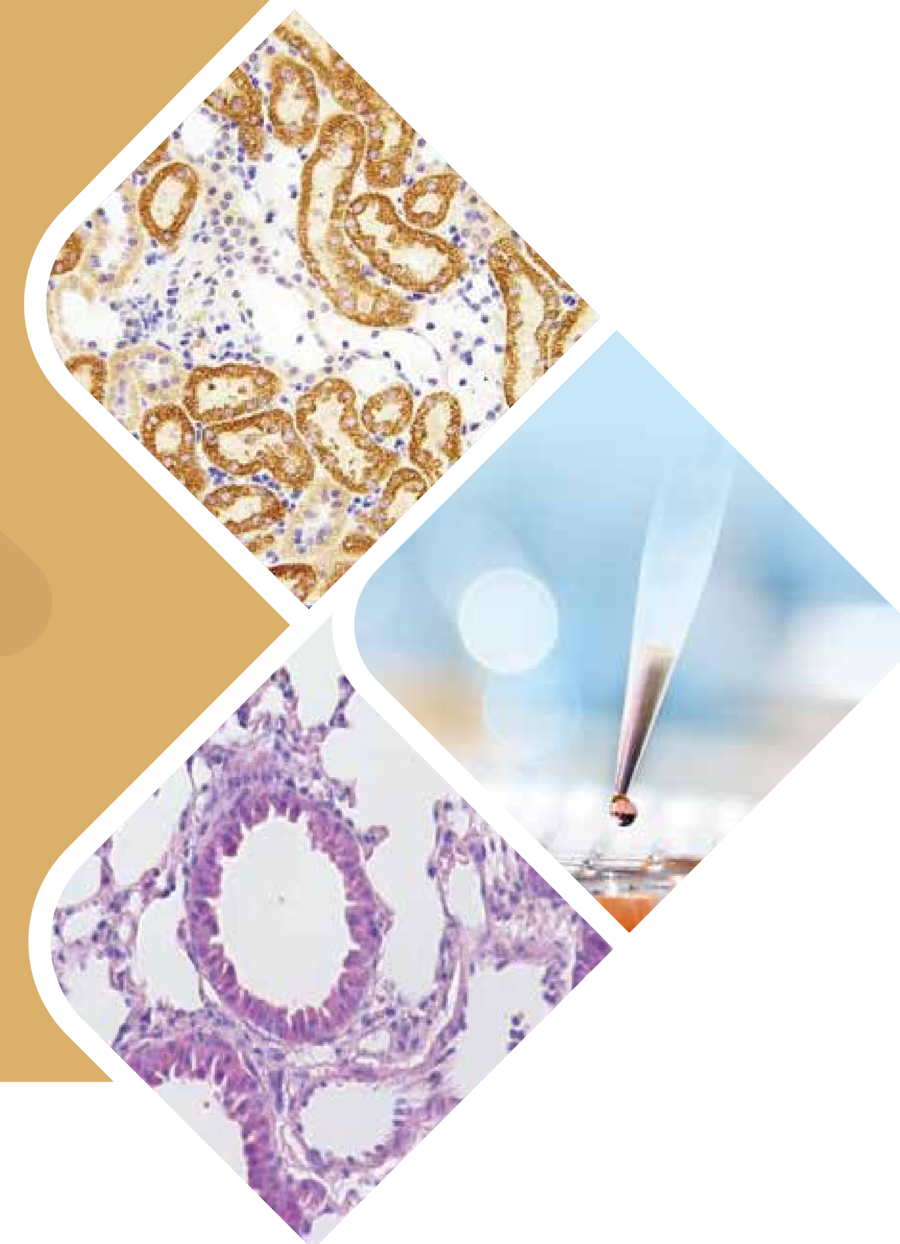

免疫组化病理染色相关试剂

北京普利莱基因技术有限公司
BEIJING APPLYGEN GENE TECHNOLOGY CO., LTD

COMPANY PROFILE

公司简介

北京普利莱基因技术有限公司于2004年成立，由留美归国人员创建，先后获得北京市高新技术企业、国家高新技术企业称号和证书，致力于研发生产具有自主知识产权、用于生物医学实验研究的各种工具试剂。

经过二十多年的积累和技术攻关，相继推出具有数百种自主知识产权的科研试剂，产品范围涵盖蛋白质组学、细胞生物学、分子生物学、生物化学、免疫学和实验医学等各类研究领域。建立了基因检测、蛋白印迹、免疫组化、基因克隆与表达、抗体制备和各类生化指标检测服务平台，已成为中国科研工作者信赖的、对生命科学研究起到推动作用的高端国产试剂生物技术公司。

发表文章

累计超过10万篇SCI论文引用！

组织自发荧光淬灭剂 AutoFluo Quencher

货号	产品名称	规格
C1212-20	组织自发荧光淬灭剂（AutoFluoQuencher）	20ml
C1212-50	组织自发荧光淬灭剂（AutoFluoQuencher）	50ml

免疫荧光技术利用荧光分子标记的抗体对与之结合的抗原进行定位，实现对蛋白质、聚糖蛋白、小生物分子及非生物分子等进行亚细胞可视化观察和研究。在此过程中，许多组织会产生可透过各种波长滤光片的内源性自发荧光，显著干扰抗体标记荧光观察甚至导致荧光组化染色失败。

自发荧光是在免疫荧光检测过程中产生的与目的信号无关的背景荧光信号的统称，其产生的原因主要来自于组织本身的组分，例如黄素、卟啉、植物叶绿素、胶原蛋白、弹性蛋白、红细胞、脂褐素等都会产生较强的自发荧光，显著影响免疫荧光实验的信噪比。此外组织固定中使用的福尔马林、多聚甲醛等物质也会产生大量的自发荧光。

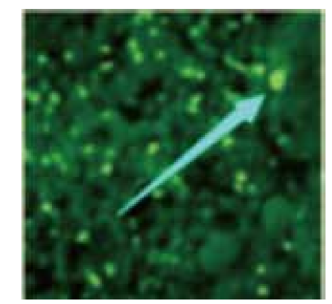

特点

- 经过优化的单一试剂，步骤简单
- 目标荧光染色之后再进行孵育
- 效果显著，不影响目的抗体荧光强度

适用

各种组织、细胞免疫荧光荧光和免疫染色的自发荧光消除。特别适用神经组织自发荧光淬灭。

应用举例：

来自天津医科大学血液病研究所的团队，在消除骨髓石蜡组织自发荧光研究中发现：相同时间内，与氨-乙醇方法处理相比，组织自发荧光淬灭剂淬灭效果明显。随着孵育时间的延长，淬灭效果显着提升。同时用CD68(Alexa Fluor 488标记)和CD45(Alexa Fluor 647 标记)等荧光标记对急性单核细胞白血病网状蛋白骨髓纤维化样本进行免疫荧光染色时，用组织自发荧光淬灭剂(C1212)处理后的样本，淬灭效果显著，并未影响抗体的荧光强度。

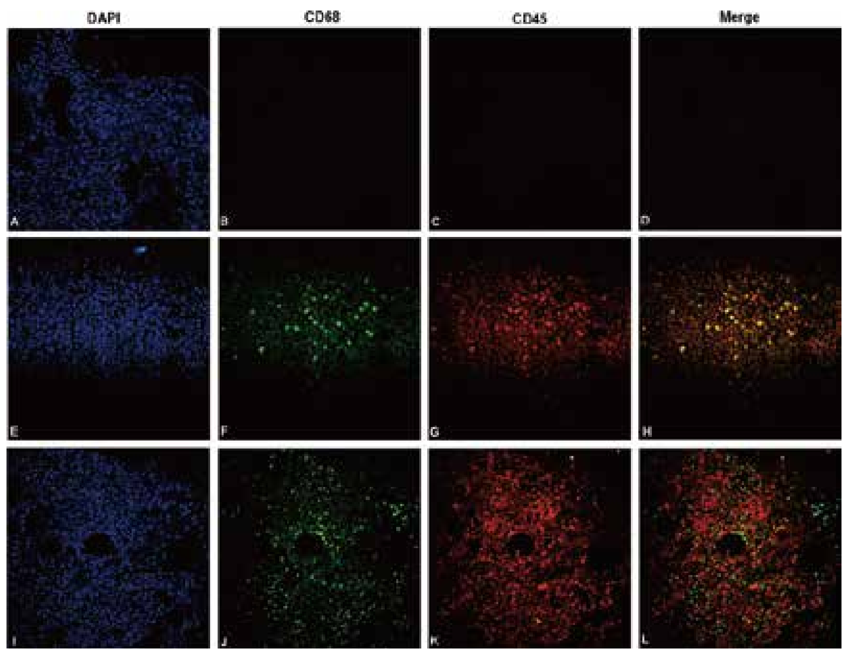

Effects of AutoFluo Quencher on immunofluorescence staining of CD68 and CD45. Serial bone marrow sections of acute monocytic leukemia with reticulin myelofibrosis were treated (A through H) or not treated (I through L) with AutoFluo Quencher. CD68 was labeled by Alexa Fluor 488 (F and J), and CD45 was labeled by Alexa Fluor 647 (G and K). Isotype controls of CD68 (B) and CD45 (C) were used for negative controls. Images were acquired in 405-, 488-, and 633-nm channels. Merging (D, H, and L) of 488- and 633-nm channels was performed (original magnification ×200)

文献来源：Su, Wenxia, et al. "Elimination of autofluorescence in archival formaldehyde-fixed, paraffin-embedded bone marrow biopsies." Archives of Pathology & Laboratory Medicine 143.3 (2019): 362-369.

部分引用文章节选：

Shi Z, Liu J, Zhao Y, et al. ASXL1 mutations accelerate bone marrow fibrosis via EGR1-TNFA axis mediated neoplastic fibrocyte generation in myeloproliferative neoplasms[J]. Haematologica, 2020 （**IF:11.0**）

Liang H, Wu C, Deng Y, et al. Aldehyde dehydrogenases 1A2 expression and distribution are potentially associated with neuron death in spinal cord of Tg (SOD1* G93A) 1Gur mice[J]. International Journal of Biological Sciences, 2017, 13(5): 574 （**IF:10.7**）

He Z, Yu C, Pan Z, et al. Erythrocyte membrane with CLIPPKF as biomimetic nanodecoy traps merozoites and attaches to infected red blood cells to prevent Plasmodium infection[J]. Journal of Nanobiotechnology, 2023, 21(1): 15 （**IF:10.2**）

Chen J, Cui Z, Wang Y, et al. Cyclic polypeptide D7 protects bone marrow mesenchymal cells and promotes chondrogenesis during osteonecrosis of the femoral head via growth differentiation factor 15 - mediated redox signaling[J]. Oxidative medicine and cellular longevity, 2022, 2022(1): 3182368 （**IF:7.3**）

Li N, Wang W, Zhou H, et al. Ferritinophagy-mediated ferroptosis is involved in sepsis-induced cardiac injury[J]. Free Radical Biology and Medicine, 2020, 160: 303-318 （**IF:7.1**）

Yang Y, Shao M, Yao J, et al. Neocryptotanshinone protects against myocardial ischemia-reperfusion injury by promoting autolysosome degradation of protein aggregates via the ERK1/2-Nrf2-LAMP2 pathway[J]. Phytomedicine, 2023, 110: 154625 （**IF:6.7**）

Cao Q, Xiao X, Tao C, et al. Efficient clearance of periodontitis pathogens by S. gordonii membrane-coated H 2 O 2 self-supplied nanocomposites in a “Jenga” style[J]. Biomaterials Science, 2023, 11(16): 5680-5693 （**IF:6.6**）

Zhang, Yu, et al. A flexible electrode Array for genetic transfection of different layers of the retina by electroporation.Lab on a Chip (2024) （**IF:6.1**）

Kong L, Li Y, Deng Z, et al. Tibial cortex transverse transport regulates Orai1/STIM1-mediated NO release and improve the migration and proliferation of vessels via increasing osteopontin expression[J]. Journal of Orthopaedic Translation, 2024, 45: 107-119

Yang S, Zeng J, Hao W, et al. IL-21/IL-21R promotes the Pro-Inflammatory effects of macrophages during C. muridarum respiratory infection[J]. International Journal of Molecular Sciences, 2023, 24(16): 12557

Yang S, Yu J, Dong X, et al. CCR2 signaling regulates anti-chlamydia T cell immune responses in the airway[J]. PLoS pathogens, 2025, 21(2): e1012912

He Y, Zhou S, Liu H, et al. Indoleamine 2, 3-dioxgenase transfected mesenchymal stem cells induce kidney allograft tolerance by increasing the production and function of regulatory T cells[J]. Transplantation, 2015, 99(9): 1829-1838

Chen Y, Liu X, Ma J, et al. Hydrangea paniculata coumarins alleviate adriamycin-induced renal lipotoxicity through activating AMPK and inhibiting C/EBPβ[J]. Journal of Ethnopharmacology, 2024, 329: 118156

Wang Y, Liu G, Zhang J, et al. Overexpression of cyclophilin A in human periapical lesions[J]. Journal of Endodontics, 2019, 45(12): 1496-1503

Xu W, Jiang S, Chen Q, et al. Systemically Transplanted Bone Marrow–derived Cells Contribute to Dental Pulp Regeneration in a Chimeric Mouse Model[J]. Journal of endodontics, 2016, 42(2): 263-268

Zhang, Hongyu, et al. Manipulating HGF signaling reshapes the cirrhotic liver niche and fills a therapeutic gap in regeneration mediated by transplanted stem cells.Experimental Cell Research 434.1 (2024): 113867

Xia, Z., Li, Y., Liu, J. et al. CRP and IHF act as host regulators in Royal Jelly's antibacterial activity. Sci Rep 14, 19350 (2024)

Wenxia Su, Lin Yang, Xueping Luo, et al. Elimination of Autofluorescence in Archival Formaldehyde-Fixed, Paraffin-Embedded Bone Marrow Biopsies. Arch Pathol Lab Med 1 March 2019; 143 (3): 362–369

Tang, X., Zheng, H., Xu, H. et al. NR4A1 Affects Endometrial Receptivity by Participating in Mesenchymal–Epithelial Transition of Endometrial Stromal Cells. Reprod. Sci. 29, 133–142 (2022)

Wang, YanqingLiu, GuojingZhang, JieZhu, LingxinYu, JingjingZhu, ShentingLv, FengyuanPeng, Bin.Overexpression of Cyclophilin A in Human Periapical Lesions[J].Journal of Endodontics: Official Journal of American Association of Endodontists, 2019, 45(12)

组织冰冻切片包埋剂
Tissue OCT-Freeze Medium

货号	产品名称	规格
C1400	组织冰冻切片 OCT 包埋剂	120ml

冰冻组织切片用于快速病理诊断、免疫组化、原位杂交等各个方面。因此合适的组织包埋剂是获得高质量冰冻组织切片的关键。普利莱组织冰冻切片包埋剂 Tissue OCT-Freeze Medium 是由高分子聚合物组成的无色透明粘稠液体，骤冷时固化其韧度和冰冻速度与组织相近，因而能保证优化的切片温度 (optimum cutting temperature, OCT)。同时具备冰冻组织保护和支持填充、减少切片皱褶和断裂等作用，并可任意添加于切片机的样品架以支持和固定样品。产品易溶于水，冲洗擦拭后不会残留在切片和用具上。其性能指标可媲美或优于广为使用的 Tissue-Tek OCT Compound 包埋剂。

特点

- 在宽范围内可用于超薄和超厚 (2~100 μm) 冰冻切片，并减少切片皱褶和断裂
- 使用简单，不影响后续免疫组化、原位杂交、病理染色操作
- 可经由水或 PBS 冲洗完全去除，是理想的组织冰冻包埋剂

适用

组织和培养细胞的冰冻包埋固定。用于快速病理染色、免疫组化、原位杂交。

抗荧光衰减封片剂 Antifade Solution

抗荧光衰减封片剂可用于常规染色的封片，也可用于免疫荧光染色的封片，作为免疫组织化学常用试剂，普利莱提供以下两种解决方案：

货号	产品名称	规格
F1000-5	抗荧光衰减封片剂（含 DAPI）	5ml
F1000-10	抗荧光衰减封片剂（含 DAPI）	10ml
F1000-25	抗荧光衰减封片剂（含 DAPI）	25ml

APPLYGEN

此类抗荧光淬灭封片剂具有良好的粘结性，可将盖玻片和载玻片很好的粘结在一起，操作简单，封片时用移液枪滴一滴抗荧光衰减封片剂，盖上盖玻片即可。封片后不脱落，可永久保存。

试剂内含抗荧光淬灭成分，对所有光谱范围的荧光均有抗衰减作用，如 FITC，Cy2，Cy3，Rhodamine，TexasRed，Cy5, Cy7，DAPI, AMCA, R6G, Hoechst 33258 and 33342；内含 DAPI，可实现在封片同时对细胞核染色，省去额外单独染核步骤，有效节约实验操作操作时间。

产品效果图：

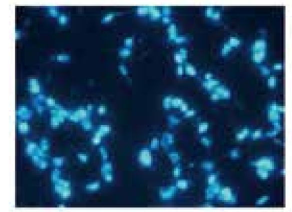
5min

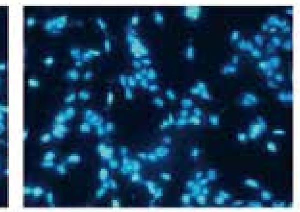
1h

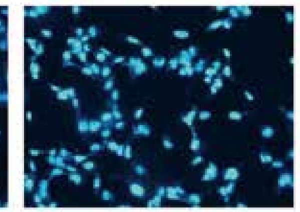
4h

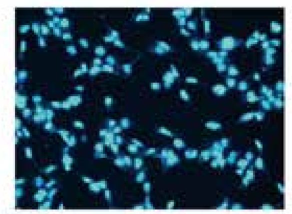
18h

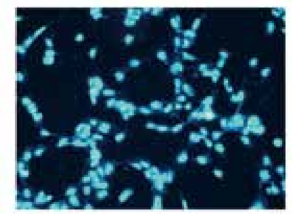
24h

抗荧光衰减封片剂可复染

货号	产品名称	规格
C1211-5	抗荧光衰减封片剂（含 DAPI）可复染	5ml
C1211-10	抗荧光衰减封片剂（含 DAPI）可复染	10ml
C1211-25	抗荧光衰减封片剂（含 DAPI）可复染	25ml
C1210-5	抗荧光衰减封片剂（不含 DAPI）可复染	5ml
C1210-10	抗荧光衰减封片剂（不含 DAPI）可复染	10ml
C1210-25	抗荧光衰减封片剂（不含 DAPI）可复染	25ml

抗荧光衰减封片剂以高纯度甘油为介质，内含抗荧光淬灭剂，有强烈的抗荧光衰减作用，用于对荧光组织和细胞样品的封片。可最大限度延长荧光持续时间和维持荧光发光强度，同时封片剂中的其它成分有助于保持组织抗原抗体处于结合状态。可复染型抗荧光衰减封片剂流动性好，封片后盖玻片和载玻片不会完全粘结，但不会影响常规荧光

观察。允许对同一样本进行多次染色，如需将盖玻片和载玻片粘结在一起，可以在盖玻片四周用指甲油等封闭和粘结，永久封片保存。

含有 DAPI 的抗荧光衰减封片剂，可实现在封片同时对细胞核染色，DAPI 是一种能够与 DNA 强力结合的荧光染料，DAPI 可以透过完整细胞膜，可用于活细胞和固定细胞的染色，显微镜下可以看到显蓝色荧光的细胞。DAPI 和双链 DNA结合后，最大激发波长为 360nm，最大发射波长为 460nm。省去额外单独细胞核荧光染色步骤，有效节约操作时间。

适用

- 组织细胞免疫荧光组织化学染色样品封片
- 染色体荧光观察封片
- 核酸荧光原位杂交样品封片

部分引用文章节选：

Lu Z, Zuo S, Shi M, et al. Long-term intravital subcellular imaging with confocal scanning light-field microscopy[J]. Nature Biotechnology, 2024: 1-12（**IF:33.1**）

Lu, Z., Jin, M., Chen, S. et al. Physics-driven self-supervised learning for fast high-resolution robust 3D reconstruction of light-field microscopy. Nat Methods 22, 1545–1555 (2025) （**IF:32.1**）

Zhang L, Wang L, Hu X B, et al. MYPT1/PP1‐Mediated EZH2 Dephosphorylation at S21 Promotes Epithelial–Mesenchymal Transition in Fibrosis through Control of Multiple Families of Genes[J]. Advanced Science, 2022, 9(14): 2105539（**IF:17.5**）

Xu M, Tan J, Liu X, et al. Tripartite motif containing 26 prevents steatohepatitis progression by suppressing C/EBP δ signalling activation[J]. Nature Communications, 2023, 14(1): 6384（**IF:16.6**）

Xu M, Tan J, Zhu L, et al. Palmitoyltransferase ZDHHC3 Aggravates Nonalcoholic Steatohepatitis by Targeting S‐Palmitoylated IRHOM2[J]. Advanced Science, 2023, 10(28): 2302130（**IF:15.1**）

Zhang Y, Wang Y, Feng X, et al. Oocyte-derived microvilli control female fertility by optimizing ovarian follicle selection in mice[J]. Nature Communications, 2021, 12(1): 2523（**IF:15.0**）

Xu M, Tan J, Zhu L, et al. The deubiquitinating enzyme 13 retards non-alcoholic steatohepatitis via blocking inactive rhomboid protein 2-dependent pathway[J]. Acta Pharmaceutica Sinica B, 2023, 13(3): 1071-1092（**IF:15.0**）

Li G, Yang J, Yang C, et al. PTENα regulates mitophagy and maintains mitochondrial quality control[J]. Autophagy, 2018, 14(10): 1742-1760（**IF:14.6**）

Zhang T, Sheng Z, Zhang J, Zhang H, et al.Targeting granulosa cells with engineered DFO nanoparticles for the treatment of chemotherapy-induced premature ovarian failure. Theranostics. 2025 Jul 4;15(15):7820-7840 （**IF:13.3**）

Gao M, Zhang T, Chen T, et al. Polycomb repressive complex 1 modulates granulosa cell proliferation in early folliculogenesis to support female reproduction[J]. Theranostics, 2024, 14(4): 1371 （**IF:12.4**）

H. Ma, C. Li, J. Wang, X. Zhang, M. Li, R. Zhang, Z. Huang, & Y. Zhang, Amygdala-hippocampal innervation modulates stress-induced depressive-like behaviors through AMPA receptors, Proc. Natl. Acad. Sci. U.S.A. 118 (6) e2019409118 （**IF:11.2**）

Wang S, Bai J, Zhang Y L, et al. CXCL1-CXCR2 signalling mediates hypertensive retinopathy by inducing macrophage infiltration[J]. Redox biology, 2022, 56: 102438 （**10.8**）

He Q, Lu H, Chen Y, et al. Visualization of the degradation of long-acting microneedles and correlation of drug release in vivo based on FRET mechanism[J]. Acta Biomaterialia, 2024, 190: 152-164 （**IF:9.4**）

Yang L, Dong X, Liu Z, et al. VPS9D1-AS1 overexpression amplifies intratumoral TGF-β signaling and promotes tumor cell escape from CD8+ T cell killing in colorectal cancer[J]. Elife, 2022, 11: e79811（**IF:8.7**）

Wang M, Chen L, Huang W, et al. Improving the anti-keloid outcomes through liposomes loading paclitaxel–cholesterol complexes[J]. International journal of nanomedicine, 2019: 1385-1400 （**IF:8.0**）

He M, Zhang T, Zhu Z, et al. LSD1 contributes to programmed oocyte death by regulating the transcription of autophagy adaptor SQSTM1/p62[J]. Aging Cell, 2020, 19(3): e13102（**IF:7.2**）

Gao Q, Wang W, Lan Y, et al. The inhibitory effect of small interference RNA protein kinase C-alpha on the experimental proliferative vitreoretinopathy induced by dispase in mice[J]. International Journal of Nanomedicine, 2013: 1563-1572（**IF:7.0**）

Ma H, Li J, Qiao X, et al. Sigma-1 receptor activation mediates the sustained antidepressant effect of ketamine in mice via increasing BDNF levels[J]. Acta Pharmacologica Sinica, 2024, 45(4): 704-713（**IF:6.9**）

Lu L, Zha Z, Zhang P, et al. Neuron-specific enolase promotes stem cell-like characteristics of small-cell lung cancer by downregulating NBL1 and activating the BMP2/Smad/ID1 pathway[J]. Oncogenesis, 2022, 11(1): 21（**IF:6.5**）

免疫组化相关产品

缓冲液		
货号	产品名称	规格
B1009-TBST	10× 封闭 - 洗涤缓冲液（TBST）	500ml
B1009-TBS	10× 封闭 - 洗涤缓冲液（TBS）	500ml
B1201	1×PBS pH7.4 0.01M	500ml
B1015	10×PBS pH7.4 0.1M	500ml
B1202	1×PBST pH7.4	500ml
B1019	10×PBST pH7.4	500ml
B1214	PBS 缓冲液粉末	2L*10

修复试剂		
货号	产品名称	规格
B1054	柠檬酸钠抗原修复液 (1×)	100ml 500ml
B1055	免疫组化抗原修复液（EDTA 抗原修复液 pH 8.0）	100ml 500ml
B1300	Tris-EDTA 抗原修复液（1×） pH 9.0	100ml 500ml
封闭试剂		
货号	产品名称	规格
C1771	封闭用正常羊血清（5% 工作液）	10ml
C1772	封闭用正常兔血清（5% 工作液）	10ml
C1773	封闭用正常驴血清（5% 工作液）	10ml
C2002	封闭用正常牛血清（5% 工作液）	10ml
C2006	封闭用正常鼠血清（5% 工作液）	10ml
C2010	封闭用正常绵羊血清（5% 工作液）	10ml
P1621-50	封闭用牛血清白蛋白（进口分装）	25g 50g
封闭试剂		
货号	产品名称	规格
E2056	免疫组化试剂盒（抗兔二抗）	200 次
E2057	免疫组化试剂盒（抗小鼠二抗）	200 次
B1072	20xDAB 染色液（A 液和 B 液各 10ml）	20ml
V2004	免疫组化专用羊抗兔二抗	100μl
V2005	免疫组化专用羊抗小鼠二抗	100μl
抗体 / 抗体稀释液		
货号	产品名称	规格
C2130	羊抗鼠 IgG,IgG	100μl
C2131	羊抗鼠 IgA,IgG	100μl
C2132	羊抗鼠 IgM,IgG	100μl
C2133	羊抗鼠 IgG1,IgG	100μl
C2137	羊抗兔 IgG,IgG	100μl
C2138	羊抗人 IgG,IgG	100μl
C2139	羊抗人 IgM,IgG	100μl
C2140	羊抗人 IgA,IgG	100μl
C2141	羊抗人 IgG+IgM+IgA,IgG	100μl
C2375	鼠抗人 IgM μ 链 20E3F5	100ul
C2151	羊抗人血红蛋白，IgG	100μl
C2161	兔抗鼠 IgG,IgG	100μl
C1753	正常山羊 IgG	100μl
C1754	正常鼠 IgG	100μl
C1755	正常兔 IgG	100μl

APPLYGEN

C2100	正常牛 IgG	100μl
C2119	小鼠 IgG3	100μl
C2116	小鼠 IgG2b	100μl
C2115	小鼠 IgM	100μl
C1245-100	免疫染色一抗稀释液	100ml
C1245-500	免疫染色一抗稀释液	500ml
C1246-100	免疫染色（非荧光）二抗稀释液	100ml
C1246-500	免疫染色（非荧光）二抗稀释液	500ml
C1247-100	免疫荧光二抗稀释液	100ml
C1247-500	免疫荧光二抗稀释液	500ml
免疫组化染核试剂		
货号	产品名称	规格
C1410	HE 苏木精伊红染色液（病理组织切片染色）	各 15ml 各 100ml
C1411	苏木精染色液	100ml 500ml
C1530	苏木素分化液	500ml
C1531	苏木素返蓝液	500ml
B1096	0.1% 核固红染色液	100ml
B1097	0.2% 核固红染色液	100ml
荧光染核试剂		
货号	产品名称	规格
B1061	DAPI 染色液	50ml
B1070	碘化丙啶 PI 溶液（1mg/ml）	1ml 5ml
B1062-10	Hoechst33258 染色液 (即用型)	10ml 50ml
B1063-10	Hoechst33342 染色液 (即用型)	10ml 50ml
TSA 荧光染色试剂盒		
货号	产品名称	规格
C0034	TSA加强型双标三色荧光染色试剂盒（绿光488+橙红光555+DAPI）	100 次
C0035	TSA加强型双标三色荧光染色试剂盒（绿光488+红光594+DAPI）	100 次
C0036	TSA加强型三标四色荧光染色试剂盒（488+555+647+DAPI）	100 次
C0038	TSA加强型四标五色荧光染色试剂盒（440+488+594+647+DAPI）	100 次
组织自发荧光淬灭剂 / 封片剂		
货号	产品名称	规格
C1212	组织自发荧光淬灭剂（AutoFluoQuencher）	20ml 50ml
F1000	抗荧光衰减封片剂（含 DAPI）	5ml 10ml 25ml
C1211	抗荧光衰减封片剂可复染（含 DAPI）	5ml 10ml 25ml
C1210	抗荧光衰减封片剂可复染（不含 DAPI）	5ml 10ml 25ml
TB6230	中性树胶	100ml/ 瓶

APPLYGEN

普通病理相关试剂

固定液		
货号	产品名称	规格
B1057	4%组织细胞固定液	100ml 500ml
C1532	致密组织专用固定液	100ml
C1533	脂肪组织专用固定液	100ml
C0030	衰老细胞 β- 半乳糖苷酶固定液	100ml
糖类染色		
货号	产品名称	规格
B1136	过碘酸 - 雪夫 (AB-PAS) 染色试剂盒	3*20ml
B1137	糖原 PAS 染色试剂盒	2*50ml 4*50ml
C1534	阿利新蓝染色液	100ml
神经组织染色		
货号	产品名称	规格
C1535	髓鞘染色试剂盒	3*100ml
B1123	甲苯胺蓝染色液	100ml
B1134	尼氏染色液 (焦油紫法)	2*100ml
B1116	1% 刚果红染色液	100ml
纤维组织染色液		
货号	产品名称	规格
B1130	改良版 Masson 三色染色试剂盒	7*100ml
骨组织染色		
货号	产品名称	规格
C1534	阿利新蓝染色液	100ml
B1123	甲苯胺蓝染色液	100ml
B1085	番红 O- 固绿软骨染色试剂盒	5*50ml
C1537	TRAP 染色试剂盒	50 次
B1140	软骨染色液 (番红 O 法)	100ml
钙结节染色		
货号	产品名称	规格
B1127	0.1% 茜素红 S 染色液	100ml
特殊细胞染色		
货号	产品名称	规格
B1078	姬姆萨染色液（工作液）	100ml 500ml
B1080	瑞氏 - 姬姆萨复合染液	100ml 500ml
B1082	瑞氏染色液	100ml
B1064	0.4% 台盼蓝染色液	50ml 100ml
C0029	衰老细胞 β- 半乳糖苷酶染色试剂盒	100 次

核酸染色		
货号	产品名称	规格
B1087	0.1% 结晶紫水溶液	100ml
B1070	碘化丙啶 PI 溶液（1mg/ml）	1ml 5ml
B1096	0.1% 核固红染色液	100ml
B1097	0.2% 核固红染色液	100ml
B1139	福尔根 DNA 染色试剂盒 (Feulgen Stain)	3*50ml
脂质染色		
货号	产品名称	规格
C0009	尼罗红脂肪荧光染色液（500X）	0.2ml
B1094	饱和油红 O 染色液	100ml
微生物染色		
货号	产品名称	规格
B1083	革兰氏染色液	4*100ml
B1099	苯胺蓝染色液	100ml
B1088	卢戈碘液（革兰氏染色）	100ml
B1143	荚膜染色试剂盒（Hiss 法）	2*100ml
其他		
货号	产品名称	规格
B1091	0.1% 吕氏碱性美蓝染色液	100ml
B1092	0.4% 吕氏碱性美蓝染色液	100ml
B1061	1% 孔雀石绿水溶液	100ml
B1102	5% 孔雀石绿水溶液	100ml
B1063	甲基绿 - 派洛宁染色液	100ml
B1095	希夫试剂 (Schiff 试剂)	100ml
B1102	0.4%TTC 染色液	100ml
B1106	2%TTC 染色液	100ml
B1107	0.33% 中性红染色液（过滤除菌，活细胞染色）	100ml
B1108	0.5% 中性红染色液（细胞或组织切片染色）	100ml
B1109	0.1% 中性红染色液（常规染色）	100ml
B1126	网织红细胞染色液	50ml 100ml
B1118	甘油 - 亚甲蓝染色液	100ml
B1119	甘油 - 孔雀绿染色液	100ml
B1125	1% 亮绿 SF 染色液	100ml
B1133	1% 硫堇染色液	100ml
B1113	普鲁士蓝染色试剂盒（Perlsstain, 核固红法）	2*100ml
B1114	普鲁士蓝染色试剂盒（Perlsstain, 伊红法）	2*100ml

常用耗材		
货号	产品名称	规格
TB6202	10 片避光湿盒 2 个	2 个
TB6203	24 片塑料染色缸 5 个	5 个
TB6205	10 片透明湿盒 2 个	2 个
TB6206	20 片透明湿盒	盒
TB6211	不锈钢染色架 2 个	2 个
TB6212	20 片避光湿盒	个
TB6213	病理切片盒 5 片 10 个	10 个
TB6214	切片盒 10 片 10 个	10 个
TB6215	病理切片盒 25 片 5 个	5 个
TB6216	病理切片盒 50 片 5 个	5 个
TB6217	病理切片盒 100 片 5 个	5 个
TB6218	世泰盖玻片 24*24mm 2 盒	2 盒
TB6219	世泰盖玻片 24*50mm 2 盒	2 盒
TB6220	世泰盖玻片 24*32mm 2 盒	2 盒
TB6221	病理显微镜免洗载玻片 2 盒	2 盒
TB6222	超白玻璃粘附载玻片正电荷防脱	盒
TB6223	世泰包埋盒细格型	盒
TB6224	世泰包埋盒	250 个 / 盒
TB6227	载玻片晾片架 24*50mm 5 个	5 个
TB6228	成套塑料染色缸组合 12 格	个
TB6228-1	塑料染色架 2 个	2 个
B1068	防脱载玻片（带正电荷，无 DNA 酶 RNA 酶）	50 片
B1069	多聚赖氨酸粘附载玻片	50 片
TB6232	载玻片分配器	个
TB6233	免疫组化笔（120 C 以下）	个
TB6235-56°	徕卡石蜡	56°
TB6236-1	塑料包埋盒底模 17*17*5mm 世泰	个
TB6236-2	塑料包埋盒底模 25*25*5mm 世泰	个
TB6237	一次性可撕包埋盒 22*22mm 世泰	288 个
TB6238	一次性包埋底模 30*20*12mm 世泰	50 个 / 包
TB6239	不锈钢包埋盒底模 15*15*7mm 世泰 10 个	10 个
TB6240	不锈钢包埋盒底模 24*24*7mm 世泰 10 个	10 个

优势产品

- WB 一站式解决方案
- 全系列 ECL 发光液
- 全能胶
- 快速三剑客
- 脂代谢
- 糖代谢
- 肝功能
- 肾功能
- 铁死亡
- 线粒体
- 细胞凋亡
- 氧化应激
- 细胞增殖
- 能量代谢指标检测
- 细胞培养
- 细胞转染
- 免疫组化
- 特殊染色